

AsD₃

2669-TS

(NaLi_3 ; AsD_3 ; BeICl_3 ; BuLiBr_3)

1936

Belfosse J.C.

Nature 1936, 137, 868

"Raman spectra of "heavy" quartz,
silicochloroform and silicobromoform"

C.A., 1936, 5498⁶

2715-11

1936

D (AsD₃)

de Hemptinne M., Delfosse J.-M.

Ann. soc. sci. Bruxelles 1936, 56B,
373-83

"Raman spectrum of light and
heavy phosphine and arsine"

C.A., 1937, 2512⁷

10

39 3043-11

39-5350-II

1939

W (AsH₃, AsD₃, PD₃)

Lee E., Wu C.K.

Trans. Faraday Soc., 1939, 35,
1366-73

"Infared absorption spectra of
ASH₃, AsD₃ and PD₃".

C.A., 1940, 1561⁶

ЕСТЬ Ф. Н.

10

1900-III

AsH₃ (V, Bo, Ze, Lxyz)

1948

AsD₃ (V, Bo, Ze, Lxyz)

PH₃ (V, Bo, Ze, Lxyz)

McConaghie V.M., Nielsen H.H.

Proc. Natl. Acad. Sci. U.S.A.,

1948, 34, 455-64

Some preliminary results on
the infrared spectra of AsH₃, AsD₃,
and PH₃

C.A., 1949, 3293d

10

2306-III

1949

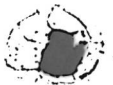
Holl, 1949

McConaghie, V.H., Mason H.H.

A study of the high frequency
fundamental bands in the spectrum
of Holl, and HgD₂.

Phys. Rev., 1949, 75, 633

Holl, Bull. 592, c. 732



10

1905-II

AsII₃ (ω_e , β_0 , γ_e , $\langle xyz \rangle$)

1949

AsD₃ (ω_e , β_0)

Virginia M.M., Conaghie, Niclsen H.H.

Phys. Rev., 1949, 75, 633-640.

High-frequency fundamental bands in
the spectrum of AsII₃ and AsD₃

C.A., 1949, 4139g



PH_3
 PD_3
 AsD_3

} 11-1458
(B_{vib} , D_j)

1953

Stroup R.E., Oetjen R.A., Bell Fly E..

J. Opt. Soc. America 1953, 43, NII, 1096-1099 (au₁₁)

The rotational spectra of regular and deuterated phosphine and arsine in region of three

PKXu 1955, 33848

113

50 and 200 k.

1897-III

BaII₂, BaO₂ (*Cmcb. nsccr.*)

1954

Gano E.

Compt. rend., 1954, 239, 965-7
The fundamental vibrations of
arsine

Gano, 1954, G2548

10

1896-III

Al₂O₃ (Bo, L, zig)

1955

Mlevins G. S., Jacko, H., Gordy W.

J. Phys. Rev. 1955, 97, p. 3, 684-686
(ans)

Millimeter wave spectra of Al₂O₃

ABD₃

PL. No. 1955, 42409



10

III - 1176

I958

D₂O, D₂S, D₂Se, ND₃, PD₃, AsD₃, SbD₃ (ν_i)
HDO, HDS, HDSe (ν_i)

H₂S, ND₃, PD₃ (ν_i)

Морозова Н.К., Морозов В.П.

Оптика и спектроскопия, I958, 5, № 5,
535-541.

О применении метода спектроптических масс
при определении колебательных частот изотопи-
ческих молекул.

РЖХ, I959, № 8,

26I35

547-II

AsD₃ (силовые постоянные)

1959

Blum L., Cohan N.V.,
Canad.J.Phys., 1959, 37, N 9,
1002-1007

Вычисление орбитальных силовых
постоянных тетраэдрических молекул

PX., 1960, № 21, 83699

~~ФМЗ~~

631-л

1960

/силовые пост., парциальные
частоты /

(X=H, D; R=N, P, As, Sb)

Рибакова Г.И., Наугольников Б.И.,
Морозов В.П.

Оптика и спектроскопия, 1960, 9,
№ 2, 166-169.

Парциальные частоты пирамидальных
гидридов и дейтеридов симметрии C_{3V}

РХ., 1961, № 80

6/1-III

1960

AsD₃

(силовые пост., $\frac{H^O - E_O^O}{T}$, $\frac{-F_O - E_O^O}{T}$, S^O, Cp^O)

Sundaram S., Suszek F.,
Cleveland F.F.

254. J.Chem.Phys., 1960, 32, N 1, 251-

Силовые постоянные, постоянные центробежного растяжения и термодинамические функции

РХ., 1960, № 16, 64265

Есть в б/у

2450-111

1962

NH₃, NO₃, PH₃, PD₃ } (Кондат. пост.)
AsLi₃, AsD₃, SbH₃ }

Walsh A.D., Warsop P.A.

Advances Molec. spectros.,
v.2, 1962, 582-591 (анн.)

The ultraviolet spectra of
hydrides of group V elements

РФ., 1963, 7Д182

Есть оригинал.

3082-II

1963

PH_3 , KD_3 , LiH_3 , AsD_3 , SbH_3 , PF_3

PCl_3 (Te, S ~~и~~ *и* *и* *и* *и* *и*)

Humphries C.H., Walsh A.D., Marsden P.A.,
Disc. Faraday Soc. 1963, v. 35,
143-157 (~~Abstract~~)

Absorption spectra of the
hydrides ...

1964, 9D173

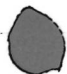
1907

ASR₃

Коерул Г. В., et al.

J. Amer. Chem. Soc., 89,
N 14, 3396.

Барьеры инверсии пирамидальных молекул типа XH_3 и родственных плоских молекул, содержащих группу XH .



(См. CH_3^-)

Cent. wolt (X₂O, X₂S, X₂Se, SO₂, 1967
XT 2364 NO₂, ClO₂, NCl₂, PX₃,
as X₃, Se X₃, 2ge X = H, DT)

Strey G.,

J. Mol. L. Spectrosc., 1967, 24,

N 1, 87-99

Extremal properties of force
constants Part I

60

D

PP 68

6 Aug 1968 n.

cum. noet (NH_3 , PH_3 , AsH_3 , SbH_3 ; ND_3 , PD_3 , AsD_3 , SbD_3 , NHF_2 , NDF_2 , 13
 NF_3 , PF_3 , AsF_3 , SbF_3 ; NEt_3 , PEt_3 , $AsEt_3$, $SbEt_3$,
 NBr_3 , PBr_3 , $AsBr_3$, $SbBr_3$, NY_3 , PT_3 , AsT_3 , SbT_3)
King Shin-Tung, Overend J. **XIII** 330

J. Phys. Chem., 1969, 73, n.2, 406-412 (with)

The importance of lone-pair electrons
in the intramolecular potential func-
tion of group V hydrides and trihalides.

Publ. No. 1989, 24555-10 10

M. n. (NH_3 , ND_3 , NT_3 , PH_3 , PD_3 , PT_3 , 1969
 AsH_3 , AsD_3 , AsT_3 , SbH_3 , SbD_3 , SbT_3)

13

Ramaswamy K., Swaminathan S.

XIII 531

Austral. J. Chem., 1969, 22, no. 2, 291-297 (au)

Molecular constants of group
V hydrides by Green's function
analysis.

15

Perkin, 1969, 1969

10

ASD₃

Helminger P., et al.

1971

Phys. Rev. A, 1971,

ll. n.

[3], 3, 1, 122.

(Cer. SBU₃) 14

AsD₃

0.7. 26864

1987

11 Л185. Микроволновые спектры дейтерированных арсинов: центробежные переходы в AsD₃, микроволновые спектры AsH₂D и AsHD₂ и структура арсина.
Microwave spectra of deuterated arsines: Distortion moment transitions of AsD₃; microwave spectra of AsH₂D and AsHD₂, and the structure of arsine.
McRae Glenn A., Gerry M. C. L., Wong M., Ozi-
er I., Cohen E. A. «J. Mol. Spectrosc.», 1987, 123, № 2,
321—339 (англ.).

В диапазоне 10—350 ГГц исследованы МВ-спектры молекул AsD₃, AsH₂D и AsHD₂. В спектре AsD₃ идентифицировано 28 линий СТС 5 разрешенных вращательных переходов с $J \leq 2$, $\Delta K = 0$ и около 30 линий запрещенных вращательных переходов с $J \leq 24$, $K = -\pm 1 \leftarrow \pm 2$, разрешаемых за счет центробежного искажения. В спектрах AsH₂D и AsHD₂ идентифицирована СТС 46 вращательных переходов с $J \leq 17$ в основном колебательном состоянии. Определены значения враща-

м.н.

(+2)

оф. 1987, 18, N 11

тельных постоянных, постоянных квартичного и сек-
стичного центробежного искажения и постоянных квад-
рупольной связи и спин-вращательного взаимодействия
ядра As. Вычислены гармонич. силовые постоянные
(из частот колебаний и центробежных постоянных) и
структурные параметры AsH₃ (As—H=1,573 Å, HAsH=
=92,08°).

М. Р. Алиев

A₃D₃

2000

133: 23942n High resolution FTIR spectra of AsD₃ in the 20–1000 cm⁻¹ region. The ground, $\nu_2 = 1$ and $\nu_4 = 1$ states. Burger, H.; Jerzembeck, W.; Ruland, H.; Wirtz, M. (FB 9, Anorganische Chemie, Universitat GH, 42097 Wuppertal, Germany). *Mol. Phys.* 2000, 98(9), 589–604 (Eng), Taylor & Francis Ltd. The pure rotational spectrum of the near-spherical oblate sym. top AsD₃ was recorded in the 20–120 cm⁻¹ region with a resoln. of 2.3×10^{-3} cm⁻¹ employing an FT interferometer. Rotational transitions with $5 \leq J \leq 29$ and $0 \leq K \leq 25$ of the ground state (GS) and the $\nu_2 = 1$ and $\nu_4 = 1$ excited states were assigned. Splittings were obsd. for the GS, $K = 3$ and 6 levels, the $K = 3$ levels of ν_2 and the $k_l = -2, 1, 4$ and 7 levels of ν_4 . Also the x,y Coriolis coupled ν_2 and ν_4 bands, $\nu_2 = 654.4149$ cm⁻¹, and $\nu_4^0 = 714.3399$ cm⁻¹, were examd. with a resoln. of 2.4×10^{-3} cm⁻¹, and ~2500 allowed and 336 forbidden lines with $J_{mn} = 31$ and $K_{mn} = 28$ were assigned.

FTIR-CREKQ,

Di, {A₃D₃},

LDA₃D

C-A. 2000, 133, N2

Appropriately weighted GS data comprising FIR lines, allowed and forbidden (up to $\Delta K = \pm 6$) GS combination differences, MMW data, and $\Delta J = 0, \Delta K = \pm 1$ distortion moment transitions were fitted together, and GS parameters complete through H parameters were detd. Two different redns. of the Hamiltonian, either with $\Delta K = \pm 6$ (h_3) or $\Delta K = \pm 3$ (ϵ) off-diagonal elements, were employed. Equivalence of these redns. up to $J = 22$ was established while for $J > 22$ the ϵ redn. is superior. The ν_2 and ν_4 data were fitted with two equiv. models based on different redns. of the rovibrational Hamiltonian. In addn. to the dominating x, y Coriolis resonance, $\xi_{24} \approx 0.520$, $\Delta(k - l) = \pm 3$ and ± 6 interactions are important and were accounted for by the models. The transition moment ratio $M_4 : M_2 = 0.75$ was detd., with a pos. sign of the product $M_2 \xi_{24} \approx M_4$. An improved r_0 structure, $r_0(\text{AsD}) = 1.51753 \text{ \AA}$ and $\alpha_0(\text{DAsD}) = 92.000^\circ$, was detd.